

بِسْمِ اللَّهِ الرَّحْمَنِ الرَّحِيمِ



دانشکده‌ی شیمی

پایان‌نامه دوره‌ی کارشناسی ارشد در رشته‌ی شیمی معدنی

موضوع:

تهیه‌ی کمپلکس‌های بیس کی لیت نامتقارن مس (II)
و بررسی سولوا توکرو میسم آن‌ها

استاد راهنمای:

دکتر حمید گلچویان

استاد مشاور:

دکتر عباس اسلامی

نام دانشجو:

احسان رضایی

خرداد ماه ۸۸

سپاسگزاری

ت

تقديم به

چکیده

در این پایان نامه، سه کمپلکس لیگند مرکب مس (II) با فرمول عمومی $[Cu(dike)(diam)](ClO_4)$ تهیه شدند که در آن *dike*، لیگند استیل استونات با استخلاف در موقعیت گاما و *diam*، لیگند $N,N'-D_i$ -دی و تری استخلافی اتیلن دی آمین می باشند.

شناسایی ساختار محصولات بر اساس طیف سنجی زیر قرمز، تجزیه‌ی عنصری و داده‌های هدایت مولی ترکیبات صورت گرفته است. داده‌های طیف سنجی زیر قرمز نشان دهنده‌ی کوئردینه شدن لیگند *dike* و پرکلرات به فلز مرکزی مس (II) می باشد. در محلول، آنیون‌های ClO_4^- بوسیله‌ی مولکول‌های حلال خارج و منجر به مشاهده‌ی پدیده‌ی سولواتو کرومیسم در این کمپلکس‌ها می گردد. سولواتو کرومیسم، تغییر رنگ یک ترکیب در حاللهای مختلف بوده و ناشی از تغییر قطبیت حاللهای گوناگون و تأثیر آن بر سطوح انرژی حالات پایه و برانگیخته‌ی مولکول کروموفور است. بررسی میان دو کمپلکس ۷ و ۸ و کمپلکس دیگری که توسط حمید اسدی تهیه شد، صورت گرفته است. مقادیر λ_{max} کمپلکس‌ها در هر حلال انتخابی به ترتیب کمپلکس‌های I < II < III به سمت قرمز جایه‌جا می گردد. این نشان می دهد که حضور گروه الکترون کشنده در موقعیت گاما‌ای لیگند استیل استونات، یون مس (II) را از لحاظ الکترونی فیر کرده و به همین علت نزدیک شدن مولکول‌های حلال به فلز مرکزی راحت‌تر صورت می گیرد. بررسی خطی بودن تغییرات بیشینه جذب گونه‌ها با عدد دهنگی حلال‌ها، رابطه‌ی خوبی را نشان داد و رفتار سولواتو کرومیک کمپلکس‌ها را تایید کرد.

ترموکرومیسم کمپلکس ۶ در برخی از حلال‌ها مورد بررسی قرار گرفت. تغییر برگشت پذیر در خصوصیات طیفی ترکیبات تحت تأثیر تغییرات دما را ترمومکرومیسم گویند. بروز خصوصیت برگشت پذیر ترمومکرومیک در این کمپلکس به نظر می رسد در نتیجه‌ی جایه‌جا شدن تعدادی از مولکول‌های حلال با لیگند دی آمین و برعکس باشد.

واژه‌های کلیدی

کمپلکس لیگند مرکب، سولواتو کرومیسم، ترمومکرومیسم، دی آمین، دی کتون.

فهرست مطالب

شماره‌ی صفحه	عنوان
۱	۱) مقدمه
۹	۱-۱) کرومتووپیسم
۱۰	۲-۱) نقش حلال در شیمی
۱۴	۲) تئوری
۱۴	۱-۲) سولواتوکرومیسم و ترکیبات سولواتوکرومیک
۱۶	۱-۱-۲) سولواتوکرومیسم کمپلکس‌های لیگند مرکب
۱۹	۱-۱-۲) سولواتوکرومیسم کمپلکس‌های لیگند مرکب مس (II)
۲۲	۱-۲-۳) رفتار وابسته به حلال کمپلکس‌های هالید $[Cu(acac)(tme)]^+$
۲۳	۲-۱-۲) کاربرد سولواتوکرومیسم
۲۳	۱-۴-۱-۲) تخمین DN حلال‌ها
۲۴	۲-۴-۱-۲) تخمین AN حلال‌ها
۲۵	۲-۲) ترموکرومیسم و ترکیبات ترموکرومیک
۲۵	۱-۲-۲) ترموکرومیسم کمپلکس‌های دی‌آمین حلقوی
۳۰	۳-۲) اهداف تحقیق
۳۱	۳) تجربی
۳۱	۱-۱-۳) دستگاهها
۳۱	۱-۱-۱-۳) IR دستگاه
۳۲	۲-۱-۱-۳) Mass دستگاه
۳۲	۱-۱-۱-۳) 1H -NMR دستگاه
۳۲	۴-۱-۱-۳) دستگاه هدایت سنج
۳۳	۱-۱-۱-۳) دستگاه تجزیه عنصری
۳۳	۶-۱-۱-۳) UV-Vis دستگاه
۳۳	۲-۱-۱-۳) مواد شیمیایی
۳۶	۲-۳) تهیه‌ی ترکیبات
۳۶	۱-۲-۳) روش تهیه‌ی لیگندها
۳۶	۱-۱-۲-۳) روش تهیه‌ی لیگند ۱
۳۶	۲-۱-۲-۳) روش تهیه‌ی لیگند ۲
۳۷	۳-۱-۲-۳) روش تهیه‌ی لیگند ۳
۳۸	۴-۱-۲-۳) روش تهیه‌ی لیگند ۴
۳۸	۵-۱-۲-۳) روش تهیه‌ی لیگند ۵
۳۹	۶-۱-۲-۳) روش تهیه‌ی لیگند ۶
۴۰	۲-۲-۳) روش تهیه‌ی کمپلکس‌های متقارن

۴۰ ۱-۲-۲-۳) روش تهیه کمپلکس ۱
۴۰ ۲-۲-۲-۳) روش تهیه کمپلکس ۲
۴۱ ۳-۲-۲-۳) روش تهیه کمپلکس ۳
۴۱ ۴-۲-۲-۳) روش تهیه کمپلکس ۴
۴۱ ۵-۲-۲-۳) روش تهیه کمپلکس ۵
۴۲ ۳-۲-۳) روش تهیه کمپلکس های لیگند مرکب
۴۲ ۱-۳-۲-۳) روش تهیه کمپلکس ۶
۴۳ ۲-۳-۲-۳) روش تهیه کمپلکس ۷
۴۳ ۳-۳-۲-۳) روش تهیه کمپلکس ۸
۴۴ ۳-۳) روش کلی جهت بررسی سولواتو کرومیسم کمپلکس ها
۴۵ ۴) بحث و نتیجه گیری
۴۵ ۱-۴) ستز و شناسایی ترکیبات
۵۶ ۱-۱-۴) تلاش برای تهیه کمپلکس لیگند مرکب با لیگندهای بتاکتو آمین و دی آمین
۵۸ ۲-۱-۴) تلاش برای تهیه کمپلکس لیگند مرکب با لیگندهای دی استامید و دی آمین
۶۰ ۲-۴) بررسی سولواتو کرومیسم کمپلکس های مس (II)
۶۳ ۱-۲-۴) بررسی رابطه بین پیشینه ای جذبی کمپلکس ها با عدد دهنگی (DN) حلال ها
۶۶ ۲-۲-۴) مقایسه سولواتو کرومیسم مشاهده شده در کمپلکس های ۷ و ۸ و نیز کمپلکس ۹
۶۸ ۴-۳) بررسی اثر ترمو کرومیسم کمپلکس های ۶ و ۷
۷۴ ۴-۴) پیشنهاداتی برای کارهای آتی
۷۵ ضمیمه ۱ (طیف IR ترکیبات)
۹۶ ضمیمه ۲ (طیف $^1\text{HNMR}$ ترکیبات)
۹۹ ضمیمه ۳ (طیف Mass ترکیبات)
۱۰۲ ضمیمه ۴ (معرفی مقیاسهای حلال)
۱۰۴ مراجع

فهرست شکل‌ها

عنوان	شماره‌ی صفحه
شکل ۱-۱) شکافتگی اوریتال‌های d را در کمپلکس $[Ti(H_2O)_6]^{3+}$	۲
شکل ۱-۲) انتقال d-d کمپلکس $[Ti(H_2O)_6]^{3+}$	۳
شکل ۱-۳) نحوه‌ی شکافتگی اوریتال‌های d در میدان‌های لیگند متفاوت.	۴
شکل ۱-۴) ساختار دو کمپلکس $[Cu(dmphen)_2]^{2+}$ و $[F\ddot{e} dmphen]_3^+$	۷
شکل ۱-۵) ساختار بلورین $M^I Fe^{II} Fe^{III}(CN)_6$	۷
شکل ۱-۶) ساختار نمک قرمز والفارم	۸
شکل ۱-۷) ساختار فتالوسیانین	۹
شکل ۱-۸) نمایش دیاگرامی جایه‌جایی سولواتوکرومیک	۱۵
شکل ۱-۹) طیف جذبی کمپلکس $[N(acac)(tmen)]BPh_4$	۱۷
شکل ۲-۱) تغییرات در شکافتگی اوریتال‌های d در نیکل (II)	۱۸
شکل ۲-۲) تغییرات در اوریتال‌های مولکولی کمپلکس آهن (II) در اثر دخالت مولکول‌های حلال	۱۹
شکل ۲-۳) تغییرات در اوریتال‌های مولکولی کمپلکس مس (II) در اثر دخالت مولکول‌های حلال	۲۱
شکل ۲-۴) مقایسه‌ی مقادیر λ_{max} کمپلکس‌های X	۲۳
شکل ۲-۵) لیگند 1,4-diazacycloheptanediacetate و مشتقات آن	۲۶
شکل ۲-۶) طیف UV-Vis کمپلکس $[Ni(dachda)(H_2O)_2]$ را در دماهای مختلف	۲۷
شکل ۲-۷) لیگند پیپرازین و نحوه اتصال آن با فرم قایقی به فلز Ni	۲۸
شکل ۲-۸) مقایسه‌ی طیف IR مربوط به کمپلکس ۶	۵۳
شکل ۲-۹) مقایسه‌ی طیف IR مربوط به کمپلکس ۷	۵۴
شکل ۲-۱۰) مقایسه‌ی طیف IR مربوط به کمپلکس ۸	۵۵
شکل ۳-۱) طیف جذبی کمپلکس ۶ در حلال‌های مختلف	۶۲
شکل ۳-۲) طیف جذبی کمپلکس ۷ در حلال‌های مختلف	۶۲
شکل ۳-۳) طیف جذبی کمپلکس ۸ در حلال‌های مختلف	۶۳
شکل ۳-۴) رابطه‌ی خطی بین λ_{max} کمپلکس ۶ و DN	۶۴
شکل ۳-۵) رابطه‌ی خطی بین λ_{max} کمپلکس ۷ و DN	۶۴
شکل ۳-۶) رابطه‌ی خطی بین λ_{max} کمپلکس ۸ و DN	۶۵
شکل ۳-۷) نمایش دیاگرامی مقادیر λ_{max} کمپلکس‌های I، II و III در حلال‌های مختلف	۶۷
شکل ۴-۱) اثر گرما بر طیف جذبی کمپلکس ۶ در حلال نیترومتان	۶۹
شکل ۴-۲) اثر گرما بر طیف جذبی کمپلکس ۶ در حلال پیریدین	۷۰
شکل ۴-۳) کمپلکس شماره‌ی ۶ در برخی از حلال‌ها	۷۱
شکل ۴-۴) کمپلکس شماره‌ی ۷ در برخی از حلال‌ها	۷۱
شکل ۴-۵) کمپلکس شماره‌ی ۸ در برخی از حلال‌ها	۷۲

فهرست جداول

عنوان	شماره صفحه
جدول ۱-۱) میزان جابه جایی اوربیتال های λ از مرکز انرژی در برخی از ساختارها	۴
جدول ۱-۳) مواد شیمیایی استفاده شده و نام شرکت سازنده آنها	۳۴ و ۳۵
جدول ۱-۴) مقادیر λ_{max} و ε_{max} سه کمپلکس لیگند مرکب در حلال های مختلف	۶۱

فهرست شماها

عنوان	شماره‌ی صفحه
شمای ۱) فرایند تغییرات در طیف انتقال بار کمپلکس آهن ۵	
شمای ۲-۱) فرایند بروز رفتار کرومتووپیسم در کمپلکس‌های لیگند مرکب مس (II) و نیکل (II) ۱۶	
شمای ۲-۲) نحوه‌ی اثر گرماب رنگ کمپلکس $[N(dachda)(H_2O)_2]$ ۲۶	
شمای ۳-۱) فرایند بروز پدیده‌ی ترموکرومیسم در کمپلکس‌های پنج کثوردینه‌ی Ni(II) ۲۷	
شمای ۴) ترموکرومیسم محلول اتانولی کمپلکس $[N(diam)_2]^{2+}$ ۲۸	
شمای ۵) اثر نمک غیر فعال بر ترموکرومیسم کمپلکس $[Ni(diam)_2(H_2O)_2]^{2+}$ ۲۸	
شمای ۶-۱) تعادل ترموکرومیک بین کمپلکس با ساختار مسطح مربعی $[N(bapp)]^{2+}$ و گونه‌ی پنج کثوردینه‌ی شامل هالید آن ۲۹	
شمای ۶-۲) معادله‌ی واکنش تهیه‌ی لیگند ۱ ۴۵	
شمای ۶-۳) معادله‌ی کلی واکنش تشکیل ایمین ۲ ۴۶	
شمای ۶-۴) معادله‌ی کلی احیای ایمین‌ها ۴۷	
شمای ۶-۵) معادله‌ی کلی واکنش تهیه‌ی لیگند ۶ ۴۸	
شمای ۶-۶) معادله‌ی واکنش تهیه‌ی کمپلکس ۱ ۴۹	
شمای ۶-۷) معادله‌ی کلی واکنش تهیه‌ی کمپلکس ۲ ۵۰	
شمای ۶-۸) معادله‌ی کلی واکنش تهیه‌ی کمپلکس‌های لیگند مرکب ۷، ۶ ۵۱	
شمای ۶-۹) واکنش‌های صورت گرفته برای تهیه‌ی کمپلکس لیگند مرکب با لیگندهای دی‌استامید و دی‌آمین ۵۷	
شمای ۶-۱۰) واکنش صورت گرفته برای تهیه‌ی کمپلکس لیگند مرکب با لیگندهای دی‌استامید و دی‌آمین ۵۸	
شمای ۶-۱۱) واکنش صورت گرفته برای تهیه‌ی کمپلکس لیگند مرکب با لیگندهای دی‌استامید و دی‌آمین ۵۹	
شمای ۶-۱۲) واکنش صورت گرفته برای تهیه‌ی کمپلکس لیگند مرکب با لیگندهای دی‌استامید و دی‌آمین ۶۰	
شمای ۶-۱۳) فرایند ایجاد پیوند بین یون مس (II) و مولکول استونیتریل ۶۶	
شمای ۶-۱۴) مکانیزم پیشنهادی برای نحوه‌ی بروز ترموکرومیسم در کمپلکس ۶ ۶۹	

لیست عالیم و اختصارات

اصطلاحات تخصصی:

AN	Acceptor Number of Solvent
CT	Charge Transfer
DN	Donor Number of Solvent
ESR	Electron Spin Resonance
IR	Infrared
IT	Inter valence Transition
LMCT	Ligand to Metal Charge Transfer
MLCT	Metal to Ligand Charge Transfer
NMR	Nuclear Magnetic Resonance
O _h	Octahedral
Ph	Phenyl Ring
T _d	Tetragonal
UV	Ultra-Violet
Vis	Visible

اصطلاحات مربوط به لیگاندها:

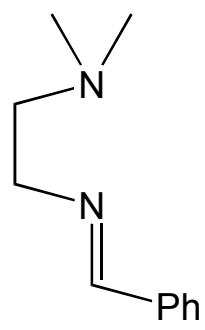
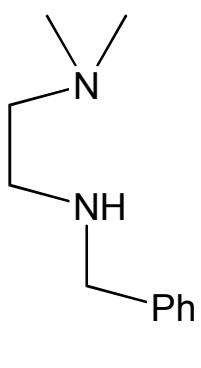
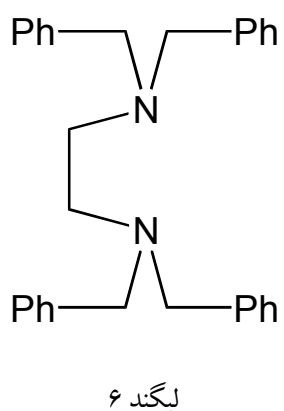
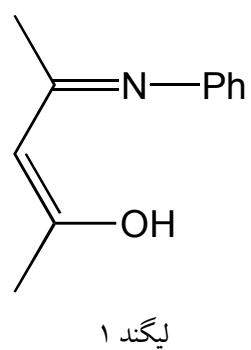
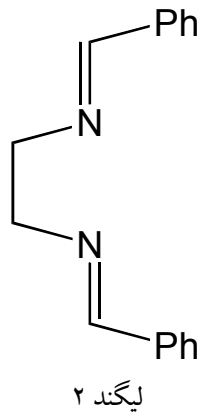
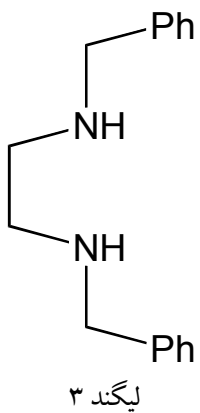
acac	Acetylacetone
bapp	1,4-bis (3-aminopropyl)-pipyrazine
bipy	Bipyridine
CN	Cyanide
CO	Carbonyl
dachda	1,4-diazacycloheptanediacetate
dmphen	Dimethylphenanthroline
diam	<i>N,N</i> or <i>N,N'</i> -Polyalkylethylenediamine
dike	β -Diketonate
en	Ethylenediamine
phen	1,10-phenanthroline
py	Pyridine
tmen	<i>N,N,N',N'</i> -Tetramethylethylenediamine

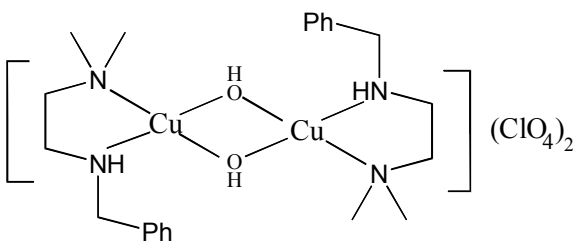
اصطلاحات مربوط به حلولها:

ACN	Acetonitrile
DMSO	Dimethylsulfoxide
DCM	Dichloromethane
DMF	<i>N,N</i> -Dimethylformamide
Py	Pyridine
THF	Tetrahydrofuran
HMPA	Hexamethylephosphorustriamide

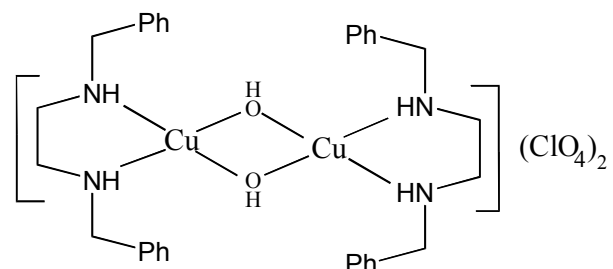
معرفی ترکیبات

لیگند و کمپلکس‌هایی که در این پروژه معرفی می‌شوند دارای ساختار زیر بوده و به ترتیبی که مشاهده می‌شود شماره گذاری می‌گردند.

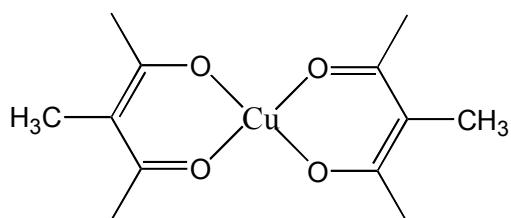




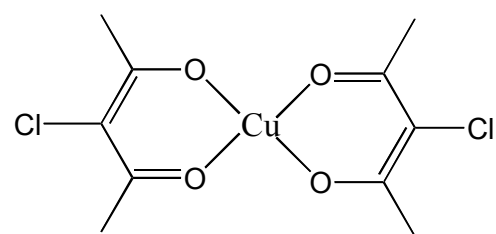
كمپلکس ۲



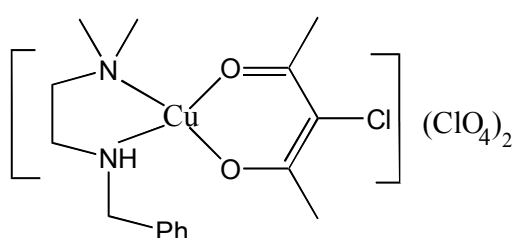
كمپلکس ۱



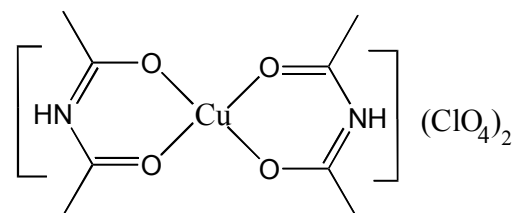
كمپلکس ۴



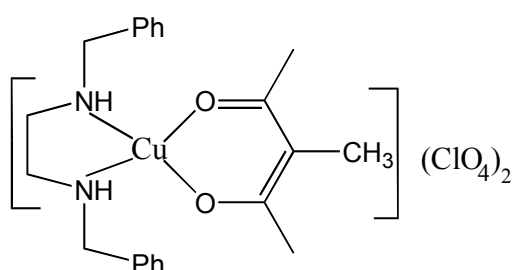
كمپلکس ۳



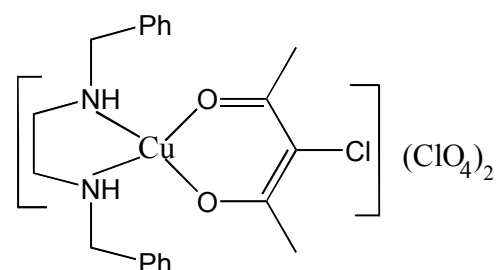
كمپلکس ۶



كمپلکس ۵



كمپلکس ۸



كمپلکس ۷

(۱) مقدمه

یکی از زیباترین و هیجان انگیزترین مفاهیم شیمی و به خصوص شیمی کثوردیناسیون به ترکیباتی با گستره‌ی وسیع رنگ‌ها مربوط می‌شود. مطالعه بر روی رنگ ترکیبات معدنی همواره از سوی محققان مورد توجه قرار گرفته است.

ماده با جذب طول موج خاصی از نور مرئی و بازتاب طول موج‌های دیگر نور، رنگ مکمل نور جذب شده را به خود می‌گیرد. نور مرئی می‌تواند موجب انتقال الکترون از حالت پایه به اولین حالت برانگیخته در مواد گردد. منشأ رنگ در ترکیبات معدنی و به خصوص در کمپلکس‌های فلزات واسطه، به چهار دسته تقسیم می‌شود که به اختصار در ادامه توضیح داده خواهد شد:

۱- انتقالات الکترونی (d-d band)

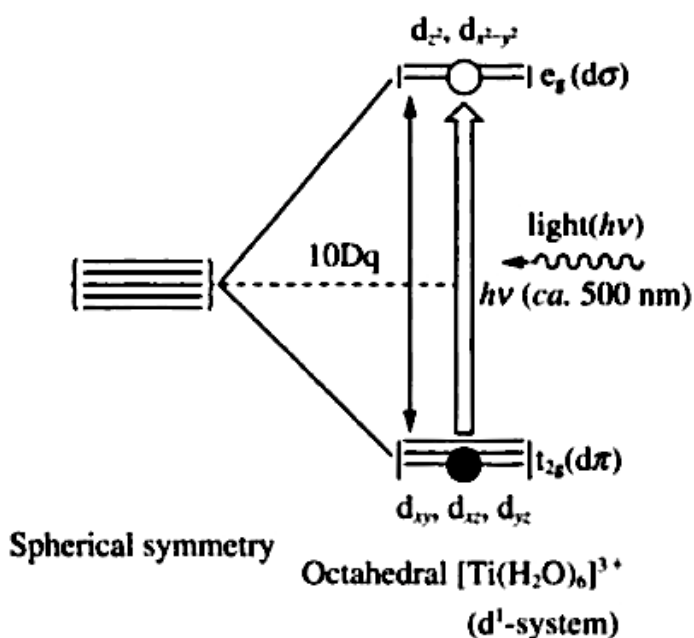
۲- انتقال بار (CT band)

۳- انتقال بین ظرفیتی (IT band)

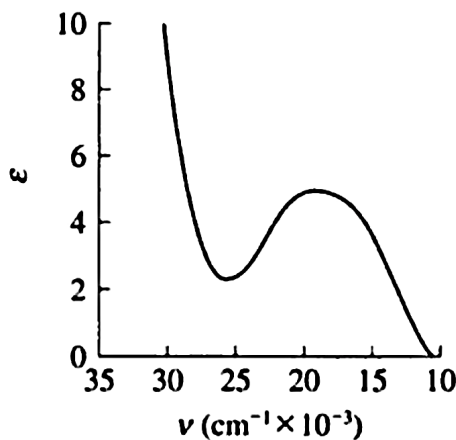
۴- انتقالات الکترونی درون لیگند ($\pi-\pi^*$ band)

در کمپلکس‌های فلزات واسطه با فرمول کلی ML_n ، زمانی که یون فلزی دارای تعدادی الکترون در اوربیتال d خود باشد (با آرایش d^n که $n < 10$ می‌باشد) انتقال d-d می‌تواند مشاهده گردد. موقعیت پیام جذبی در انتقال d-d در مورد کمپلکس فلزات با یون فلزی واسطه ردیف اول (که حالت‌های اکسایش II و III را دارا هستند) بسته به ساختار کثوردیناسیون خود در ناحیه‌ی مرئی واقع می‌شوند. شکل ۱-۱ شکافتگی اوربیتال‌های d را در کمپلکس هشت وجهی هگزا آکوا تیتانیوم ($Ti(H_2O)_6^{3+}$) و شکل ۱-۲ انتقال d-d مربوط به این کمپلکس را نشان می‌دهد [۱] (رنگ بنفش – ارغوانی، 20100 cm^{-1}).

برای فلزات واسطه‌ی ردیف دوم و سوم تنوع رنگ‌ها در کمپلکس‌ها مانند فلزات ردیف اول مشاهده نمی‌شود، به این خاطر که میزان شکافتگی اوربیتال‌های d (برای مثال Δ_{10Dq} یا $10Dq$ در ساختار O_h) در این کمپلکس‌ها بیشتر از کمپلکس‌های فلزات واسطه‌ی ردیف اول می‌باشد و معمولاً این کمپلکس‌ها دارای آرایش Low Spin می‌باشند در نتیجه مکان پیام جذبی به سمت ماوراء بنفش نزدیک یا ماوراء بنفش جابه‌جا الکترونی کمپلکس را در می‌گردند.

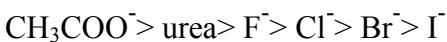


شکل ۱-۱: شکافتگی اوربیتال‌های d را در کمپلکس $[Ti(H_2O)_6]^{3+}$



شکل ۱-۲: انتقال d-d کمپلکس $[{\text{Ti}(\text{H}_2\text{O})_6}]^{3+}$

برای مثال مقدار Δ_0 (میزان شکافتگی d-d در ساختار هشت وجهی) در آرایش $3d^6$ در کمپلکس $[\text{Co}(\text{en})_3]^{3+}$ ، آرایش $4d^6$ در کمپلکس $[\text{Ir}(\text{en})_3]^{3+}$ و آرایش $5d^6$ در کمپلکس $[\text{Rh}(\text{en})_3]^{3+}$ به ترتیب $23/2$ ، $41/4 \times 10^3 \text{ cm}^{-1}$ و $34/6 \text{ cm}^{-1}$ می‌باشد [۲]. هر سه کمپلکس دارای آرایش الکترونی Low Spin هستند. انتقال d-d کمپلکس‌های دوم و سوم موجب جذب در ناحیهٔ ماوراء بنفس نزدیک و یا ماوراء بنفس می‌گردد. بنابراین تنوع رنگ با چنین وسعتی و زیبایی ناشی از آن، تنها در کمپلکس‌های فلزات واسطه‌ی ردیف اول مشاهده می‌شود. سری اسپکتروشیمیایی زیر قدرت ذاتی لیگندها را برای شکافتن اوربیتال‌های d نشان می‌دهد که برای پیش‌بینی و توجیه رنگ کمپلکس‌ها در یک فلز مشخص با عدد اکسایش ثابت می‌تواند مهم باشد.

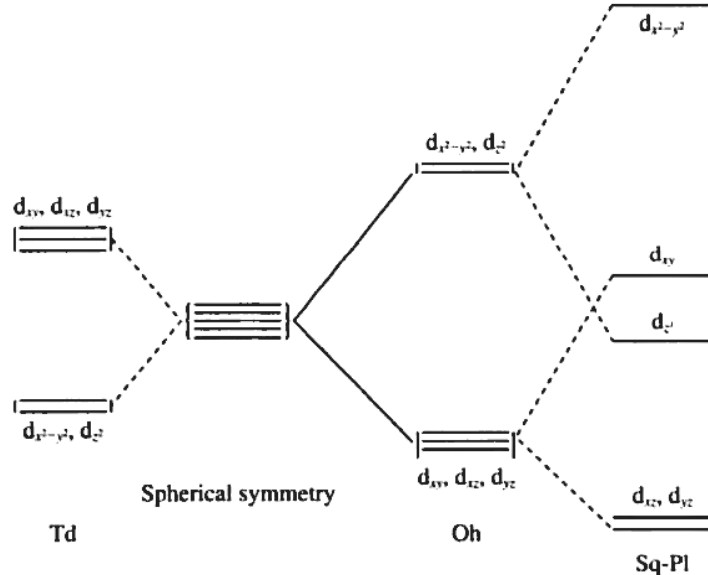


الگوی شکافتگی اوربیتال‌های d در ساختار ترکیبات کثوردیناسیون با تقارن متفاوت، مختلف می‌باشد.

برای نمونه در شکل ۱-۳ شکافتگی اوربیتال‌های d در گروه‌های تقارنی O_h ، T_d و مسطح مربعی آمده است و در جدول ۱-۱ میزان جابه‌جایی اوربیتال‌های d از مرکز انرژی در تعدادی از گروه‌های تقارنی آورده شده است [۳].

تعداد الکترون‌های واقع در اوربیتال‌ها نیز بر موقعیت و تعداد انتقالات d-d تأثیر می‌گذارد. البته در بعضی مواقع

حتی آرایش‌های الکترونی d^1 و d^9 نیز می‌توانند یک رنگ داشته باشند. کمپلکس $[VO(H_2O)_5]^{2+}$ با آرایش d^1 و کمپلکس $[Cu(H_2O)_6]^{2+}$ هر دو به رنگ آبی می‌باشند.



شکل ۱-۳: نحوهٔ شکافتگی اوربیتال‌های d در میدان‌های لیگند متفاوت

C. N. structure	d_z^2	$d_{x^2-y^2}$	d_{xy}	d_{yz}	d_{xz}
2 linear ^b	10.28	-6.28	-6.28	1.14	1.14
3 trigonal ^c	-3.21	5.46	5.46	-3.86	-3.86
4 tetrahedral	-2.67	-2.67	1.78	1.78	1.78
4 square planar ^c	-4.28	12.28	2.28	-5.14	-5.14
5 trigonal bipyramidal ^d	7.07	-0.82	-0.82	-2.72	-2.72
5 square pyramid ^d	0.86	9.14	-0.86	-4.57	-4.57
6 octahedral	6.00	6.00	-4.00	-4.00	-4.00
6 trigonal prism ^d	0.96	5.84	-5.84	5.36	5.36
7 pentagonal bipyramidal	4.93	2.82	2.82	-5.28	-5.28
8 cubic	-5.34	-5.34	3.56	3.56	3.56
12 dodecahedron	0.00	0.00	0.00	0.00	0.00

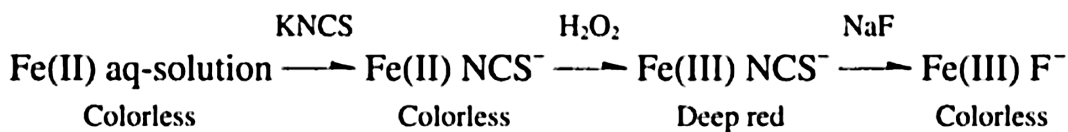
جدول ۱-۱: میزان جابه‌جایی اوربیتال‌های d از مرکز انرژی در برخی از ساختارها

طیف انتقال بار در ناحیهٔ مرئی یا فرابنفش نزدیک واقع می‌شود که به خاطر انتقال الکترون بین لیگند (معمولًاً گونهٔ آنیونی) و فلز مشاهده می‌گردد. انتقال بار می‌تواند به دو صورت انتقال از لیگند به فلز (LMCT) و انتقال از فلز به لیگند (MLCT) باشد.

یک مثال بسیار آشنا از انتقال LMCT، رنگ قرمز تیره‌ی کمپلکس‌های دارای پیوند NCS^- می‌باشد. از طرفی رنگ مربوط به انتقال بار LMCT در سیستم $Fe(II)-NCS^-$ مشاهده نمی‌شود. زمانی که

KNCS به محلول آبی اضافه می‌گردد هیچ تغییر رنگی مشاهده نمی‌شود (محلول بی‌رنگ باقی می‌ماند). در صورت اضافه کردن مقداری H_2O_2 به محلول حاصل (Fe(II)-NCS^- در آب) رنگ محلول بلاfacسله به قرمز تیره تیره بدل می‌گردد، به این معنی که Fe(II) در حضور H_2O_2 به Fe(III) اکسید شده است و رنگ قرمز تیره ناشی از انتقال LMCT می‌باشد.

در ادامه اگر مقداری NaF جامد به محلول قرمز تیره اضافه شود رنگ محلول دوباره از بین می‌رود. علت این تغییر رنگ یا از بین رفتن رنگ، سختی انتقال بار از F^- به Fe(III) می‌باشد. یون F^- به خاطر الکترونگاتیویتهای بالا و قطبش پذیری کم بسیار پایدار است و الکترون خود را به راحتی برای انتقال بار رها نمی‌سازد. یون Fe(III) به تمایل بیشتری به کثوردینه شدن به یون F^- در مقایسه با یون NCS^- دارد. در کمپلکس دارای پیوند Fe(III)-F به خاطر این که اتم فلور نمی‌تواند به فلز مرکزی الکترون بدهد انتقال بار LMCT دیده نمی‌شود و از طرفی این کمپلکس به علت داشتن آرایش الکترونی d^5 (High Spin) انتقال $d-d$ نیز ندارد و در نتیجه بی‌رنگ است (شمای ۱-۱).



شمای ۱-۱: فرایند تغییرات در طیف انتقال بار کمپلکس آهن

مثال‌های دیگری از انتقال LMCT وجود دارند که می‌توان به آنیون‌های $[\text{Cr}_2\text{O}_7]^{2-}$ ، $[\text{CrO}_4]^{2-}$ و $[\text{MnO}_4]^-$ اشاره کرد که در آن یون فلز مرکزی با عدد اکسایش بالا تمایل به پذیرفتن الکترون از آنیون اکسید دارد. در نتیجه زمانی که یون فلزی با حالت اکسایش بالا به عنوان فلز مرکزی به لیگند با تمایل بالا برای اکسید شدن متصل می‌گردد، انتقال LMCT باشدت بسیار بالا مشاهده می‌شود. جالب توجه اینکه رنگ کرومات (زرد) با بی‌کرومات (نارنجی) متفاوت است. طول پیوند C=O (انتهایی، ۱۶۶pm) در کرومات $(\text{NH}_4)_2\text{CrO}_4$

بلندتر از طول همین پیوند (انتهایی، 163pm ، در پل، 179pm) در بی کرومات ($\text{K}_2\text{Cr}_2\text{O}_7$) است [۴]. این تفاوت

با توجه به برهم کنش دهنده-پذیرنده برای دو کمپلکس $[\text{CrO}_4]^{2-}$ و $[\text{Cr}_2\text{O}_7]^{2-}$ به سادگی قابل فهم است.

برهم کنش قوی بین CrO_3 و O^{2-} در مورد کرومات موجب افزایش طول پیوند $\text{O}=\text{O}$ انتهایی می‌گردد و به علت

برهم کنش ضعیف‌تر بین CrO_3 و $[\text{CrO}_4]^{2-}$ در مورد بی کرومات ($[\text{Cr}_2\text{O}_7]^{2-}$) طول پیوند انتهایی کوتاه‌تر است.

در مجموع انتقال بار LMCT از اکسید انتهایی به فلز مرکزی (VI) Cr در کمپلکس کرومات جذب در ناحیه‌ی با

انرژی بالاتر را نسبت به کمپلکس بی کرومات منجر می‌شود. ساختار کریستال CrO_3 به شکل زنجیره‌ی بلند

می‌باشد که در آن طول پیوند $\text{O}=\text{O}$ انتهایی 160pm است (طول پیوند $\text{Cr}-\text{O}-\text{CrO}_2-\text{O}-\text{CrO}_2-\text{O}-$

175pm است) که کوتاه‌تر از طول این پیوند در هر دو کمپلکس $[\text{Cr}_2\text{O}_7]^{2-}$ و $[\text{CrO}_4]^{2-}$ می‌باشد. رنگ این

ترکیب قرمز آجری است.

گونه‌ی دیگری از انتقال بار است، در این انتقال لیگند مورد استفاده توانایی پذیرفتن الکترون از MLCT

یون فلز مرکزی به صورت تشکیل پیوند π برگشتی را دارد. کمپلکس $[\text{Fe}(\text{bipy})_3]\text{X}_2$ مثالی از این گروه به

شمار می‌آید که در آن bipy، لیگند $2,2'-\text{بی پیریدین}$ می‌باشد (این کمپلکس به رنگ قرمز است). در مورد

یون $[\text{Cu}(\text{dmphen})_2]^+$ نیز انتقال بار MLCT مشابه دیده می‌شود که در آن dmphen $2,9-\text{دی متیل}-1,10-$

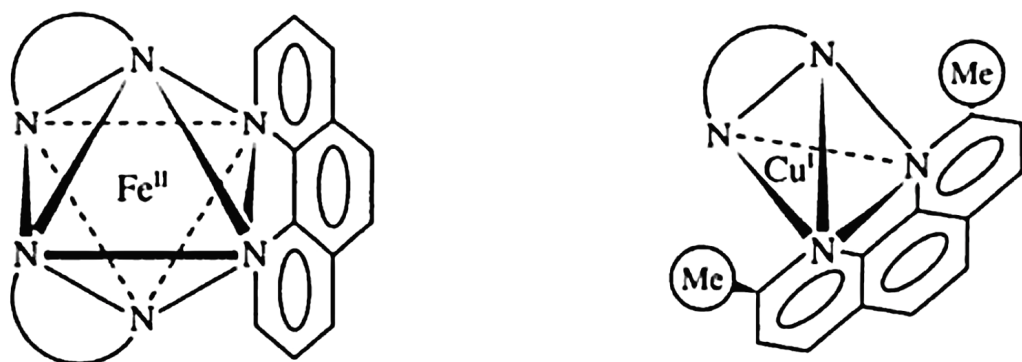
فنانترولین) لیگند منحصر به فردی است، به این خاطر که این لیگند به علت مزاحمت فضایی اش مانع تشکیل

کمپلکس هشت‌وجهی با $(\text{Fe}(\text{II}))^{2+}$ می‌گردد (در این حالت تشکیل کمپلکس $[\text{Fe}(\text{dmphen})_3]^{2+}$ غیر ممکن

است). اما توانایی تشکیل کمپلکس چهار کثوردینه با $(\text{Cu}(\text{I}))^{10}\text{d}$ با آرایش $\text{Cu}(\text{I})$ را دارد (در این حالت تشکیل کمپلکس

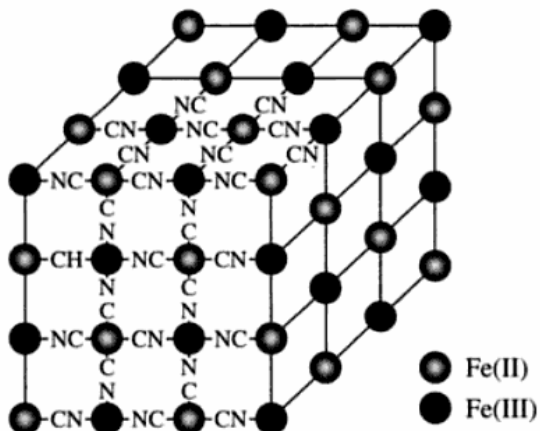
چهار‌وجهی $[\text{Cu}(\text{dmphen})_2]^+$ را می‌دهد). در شکل ۱-۴ دو کمپلکس دارای انتقال بار MLCT که به رنگ

قرمز می‌باشند، نشان داده شده است.



شکل ۱-۴: ساختار دو کمپلکس $[F\ddot{e}\ dmphen)_3]^{2+}$ و $[Cu(dmphen)_2]^+$ که انتقال بار از نوع MLCT در آنها مشاهده می‌گردد. انتقالات بین ظرفیتی (IT band) در کمپلکس‌هایی دیده می‌شوند که در آن چند فلز با ظرفیت‌های

متفاوت وجود داشته باشند. مثال مشهور برای این انتقال رنگدانه‌ی آبی آهن^۱ می‌باشد، این ترکیب مدت زمان زیادی است که شناخته شده است ($M^I Fe^{II} Fe^{III}(CN)_6$). رنگ این کمپلکس ناشی از انتقال الکترون بین $Fe(II)$ و $Fe(III)$ می‌باشد. در شکل ۱-۵ ساختار زنجیره‌ای دو ظرفیتی دنباله‌دار $-Fe(II)-CN-Fe(III)-CN-CN-$ نحوه‌ی کثوردینه شدن CN^- به $Fe(II)$ از سر C و به $Fe(III)$ از سر N آمده است.



شکل ۱-۵: ساختار بلورین $M^I Fe^{II} Fe^{III}(CN)_6$ که در آن لیگند CN^- به عنوان پل موجب تشکیل زنجیره‌ای می‌گردد که $Fe(II)$ و $Fe(III)$ را به هم متصل می‌کند، انتقال الکترون در راستای این زنجیره رخ می‌دهد.

¹ Prussian-blue